



Adsorption isotherm, kinetic and mechanism studies of crystal violet dye by activated carbon from sugarcane leaves 55

Suchada Sawasdee and Prachart Watcharabundit

ระบบควบคุมร้อนเท็จหลินซีอัตโนมัติแบบฉลາดด้วยโครงข่ายประสาทเทียม 66

A Smart Automatic Hot Air Control for Ganoderma lucidum (Curtis) Drying System with Artificial Neural Network
พรพิมล ชาญแสง และ ประพัน ลีกุล

การควบคุมแรงดันไฟฟ้าของเครื่องกำเนิดไฟฟ้าแม่เหล็กถาวรโดยใช้ไมโครคอนโทรลเลอร์ 78

Voltage Control of Permanent Magnet Generator by using Microcontroller
พีรวิจัน มนูหะ ชุมพล วันศรี และ กวินชัย ต้องตรงทรัพย์

ระบบติดตามและประเมินคุณภาพน้ำบานพื้นฐาน IoT 87

IoT based Water Quality Monitoring and Assessment System

จันทนาก ปัญญาภารณ์ ธีระพัฒน์ หายเคราะห์ ณัฐพล นิจชิน และสุวิชญ์ กิจพาณิชย์เจริญ

การพัฒนาคุณภาพและห่วงโซ่อุปทานผลิตภัณฑ์กล้วยตากซุมชุมบ้านหนองปลาไหล ตำบลท่าดินคำ อำเภอชัยบาดาล จังหวัดลพบุรี 97
ตามแนวคิดปรัชญาของเศรษฐกิจพอเพียง

Development on Quality and Supply Chain of Dried Banana Product Ban-Nongplalai, Chai Badan District, Lop Buri Province based on Philosophy of Sufficiency Economy

กฤษณ์ชาคริต ณ วัฒนประเสริฐ และ ฤทธิมา ผลารมณ์

การเพิ่มประสิทธิภาพการผลิตของกระบวนการแปรรูปผลิตภัณฑ์กล้วย กรณีศึกษา กลุ่มกล้วยอบ จังหวัดฉะเชิงเทรา 108

THE EFFICIENCY IMPROVING OF BANANA PRODUCT PROCESS CASE STUDY: BANANA DRYING

GROUP IN CHACHOENGSAO PROVINCE

ณัฐวิทย์ ทองคงคล วัชระ วงศ์ปัญโญ และบุญวัฒน์ วิจารณ์พล

ประเมินศักยภาพและความตื้มทุนของการติดตั้งระบบเซลล์แสงอาทิตย์บนหลังคา 117

กรณีศึกษา: อาคารสำนักงานคณะกรรมการอุตสาหกรรม มหาวิทยาลัยราชภัฏเชียงราย

Potential and Cost-Effectiveness Evaluation of Solar Rooftop System

Case Study: Faculty of Industrial Technology Office Building Chiang Rai Rajabhat University

ชัยชัย วรพัฒน์ สุรัตน์ เศกโพธิ์ และ ปราเมษฐ์ สิทธิสารต์

การจัดเส้นทางเดินรถเก็บขยะโดยใช้วิธีเคมีนและตัวแบบปัญหาการเดินทางของพนักงานขาย 127

กรณีศึกษาเทศบาลตำบลบ้านดู่ อำเภอเมือง จังหวัดเชียงราย

The Waste Collection Vehicle Routing by Using K-means Method and Traveling Salesman Problem:

A Case Study of Bandu Municipality, Muang Chiang Rai District, Chiang Rai Province

ชัยกร พุทธกานิด เศกสรรค์ วินยากรถูก ประเวช อันนันເອົ້າ ແລະ ນະຄ ໄຊຍວັງສັກດາ

การประยุกต์วิธีเรืองพันธุกรรมสำหรับระบบระบุตำแหน่งแบบเวลาจริงภายในอาคาร 136

Application of Genetic Algorithm for Indoor Real Time Localization System

วนิดา วรรณสวัสดิ์กุล และ ปิยะพงษ์ แดงคำ

สารสารวิชาการ เทพสตรี I-TECH
ปีที่ 16 ฉบับที่ 2 กรกฎาคม – ธันวาคม 2564

บรรณาธิการ

รศ.ดร.ศุภวัฒน์ ลาวัณย์วิสุทธิ์

ผู้ช่วยบรรณาธิการ

ดร.วิทยา พันธุ์พา

ดร.สมชาย วัชรปัญญาวงศ์

รศ.ดร.ดวงใจ บุญกุศล

ผศ.ดร.ปพน สะอาดดิวงศ์

ผู้ทรงคุณวุฒิในกองบรรณาธิการ

ศ.ดร.สุมารี สังข์ศรี	มหาวิทยาลัยสุโขทัยธรรมาธิราช
ศ.ดร.จรัญ จันทลักษณ์	มหาวิทยาลัยทักษิณ
ศ.ดร.สายยันต์ ทัดศรี	มหาวิทยาลัยเกษตรศาสตร์
ศ.ดร.พิริศักดิ์ ศรีนิเวศน์	มหาวิทยาลัยเกษตรศาสตร์
รศ.ดร.ชนศักดิ์ บำรุงเที่ยง	มหาวิทยาลัยเทคโนโลยีพระจอมเกล้าพระนครเหนือ
รศ.ดร.ธีรศิลป์ ทุมวิภาค	มหาวิทยาลัยเทคโนโลยีพระจอมเกล้าพระนครเหนือ
รศ.ดร.มนตรี ศิริปรัชญาณนันท์	มหาวิทยาลัยเทคโนโลยีพระจอมเกล้าพระนครเหนือ
รศ.ดร.สุมารี อุณหะวนิชย์	มหาวิทยาลัยเทคโนโลยีพระจอมเกล้าพระนครเหนือ
รศ.ดร.พิพัฒน์ พรหมมี	สถาบันเทคโนโลยีพระจอมเกล้าเจ้าคุณทหารลาดกระบัง
รศ.ดร.พีระวุฒิ สุวรรณจันทร์	สถาบันเทคโนโลยีพระจอมเกล้าเจ้าคุณทหารลาดกระบัง
รศ.ดร.วิสุทธิ์ สุนทร垦กพงศ์	สถาบันเทคโนโลยีพระจอมเกล้าเจ้าคุณทหารลาดกระบัง
รศ.ดร.ชุษิทธิ์ ประดับเพ็ชร	มหาวิทยาลัยราชภัฏพระนครศรีอยุธยา

ผู้ประสานงานและจัดทำ

อ.สมมาตร สุบรรณพงษ์

นางนภาพร รอดแก้ว

นางสาวชญาณพิมพ์ จตุพรเนตรทอง

วัตถุประสงค์

เพื่อเผยแพร่ผลงานทางวิชาการด้านวิทยาศาสตร์และเทคโนโลยีอุตสาหกรรม ได้แก่ วิศวกรรมศาสตร์ วิทยาศาสตร์ ประยุกต์ อุตสาหกรรมการเกษตร เทคโนโลยีสารสนเทศ การจัดการอุตสาหกรรม

กำหนดการอุปกรณ์

ปีละ 2 ฉบับ คือ ฉบับที่ 1 มกราคม-มิถุนายน และฉบับที่ 2 กรกฎาคม-ธันวาคม

ลักษณะบทความ

- ต้องไม่เคยเผยแพร่ในวารสารอื่นใดมาก่อนหรือต้องไม่อยู่ในขั้นตอนการพิจารณาเพื่อเผยแพร่ในวารสารอื่น
- ต้องเป็นผลงานวิจัยที่มีผลกระทบในวงกว้างที่ไม่ใช่งานวิจัยในระดับสถาบัน

บทความที่ลงพิมพ์เป็นข้อคิดเห็นของผู้เขียนเท่านั้น

ผู้เขียนจะต้องเป็นผู้รับผิดชอบต่อผลทางกฎหมายใด ๆ ที่อาจจะเกิดขึ้นจากบทความนั้น

การประยุกต์วิธีเชิงพันธุกรรมสำหรับระบบบุต้าแห่งแบบเวลาจริงภายในอาคาร

Application of Genetic Algorithm for Indoor Real Time Localization System

วดีนาถ วรรณสวัสดิ์กุล* และ พiyapong Dangkham

Wadeenat Wannasawaskul* and Piyapong Dangkham

สาขาวิชาศึกกรรมสารสนเทศและการสื่อสาร คณคณและเทคโนโลยีอุตสาหกรรม มหาวิทยาลัยราชภัฏเทพสตรี

Department of Information and Communication Engineering, Faculty of Industrial Technology, Thammasat Rajabhat University

*Email: wadeenat.w@lawasri.tru.ac.th

Received: November 11, 2021; Revised: December 03, 2021; Accepted: December 07, 2021

บทคัดย่อ

บทความนี้นำเสนอวิธีการแก้ปัญหาด้วยวิธีเชิงพันธุกรรมสำหรับระบบบุต้าแห่งแบบเวลาจริงภายในอาคารด้วย การคำนวณสามเหลี่ยมระยะ ขั้นตอนการระบุตำแหน่งจะใช้ค่าความเข้มสัญญาณที่ได้รับมาคำนวณพิกัดจากสามจุดอ้างอิง โดย แก้สมการหาคำตอบที่สอดคล้องกับสมการวงกลมของจุดอ้างอิงทั้งสามจุดด้วยวิธีทางเมทริกซ์ แต่พบว่าในบางกรณีคำตอบที่ได้ ไม่ใช่พิกัดที่ทำให้เกิดค่าความผิดพลาดที่น้อยที่สุด บทความนี้จึงนำเสนอวิธีการแก้ปัญหาการหาค่าที่เหมาะสมที่สุดด้วยวิธีเชิง พันธุกรรม วิธีการแก้ปัญหานี้จะใช้วิธีการวนซ้ำ และปรับปรุงคำตอบในแต่ละรอบให้ได้ค่าที่เหมาะสมที่สุด ในการทดสอบการ ระบุตำแหน่ง จะใช้เทคโนโลยีบลูทูธพลังงานต่ำ ในห้องโถงโล่งไม่มีสิ่งกีดขวาง ผลการทดสอบพบว่าวิธีเชิงพันธุกรรมสามารถ เป็นตัวเลือกหนึ่งในการประยุกต์ใช้กับระบบบุต้าแห่งแบบเวลาจริงภายในอาคาร

คำสำคัญ : วิธีเชิงพันธุกรรม, ระบบบุต้าแห่ง, บลูทูธพลังงานต่ำ

Abstract

This paper presents the optimization problem for the indoor real time localization (indoor RTLS) with genetic algorithm. The indoor RTLS uses the trilateration technique to calculate the coordinate positions. The process estimates the range from 3 source references with the received signal strength indicator. The coordinate positions are computed by matrix technique for equation system. The solutions from matrix technique are not the minimum error in some case. The genetic algorithm is presented for the optimum search method. This algorithm iterates to compute in optimum coordinate positions and improve the appropriate position in each iteration. In testing process, the localization uses Bluetooth low energy technology in empty room. The results show that the genetic algorithm is a one choice for applying to the indoor RTLS.

Keywords : genetic algorithm, localization, Bluetooth low energy

1. บทนำ

ค่าความเข้มสัญญาณที่ได้รับ (Received Signal Strength Indicator: RSSI) เป็นการวัดค่าความเข้มสัญญาณที่ได้จาก อุปกรณ์ส่งสัญญาณ โดยจะทำการวัดค่าในหน่วย dBm และ คำนวณระยะห่างระหว่างอุปกรณ์ด้วยวิธีการสูญเสียเชิงวิถี (Path Loss) [1] ค่าความเข้มสัญญาณที่ได้รับถูกนำมาใช้ใน ระบบระบุตำแหน่งแบบเวลาจริง (Real Time Localization System: RTLS) ซึ่งเป็นการหาตำแหน่งวัตถุที่ต้องการคล้ายกับ ระบบระบุตำแหน่งบนพื้นโลก (Global Positioning System: GPS) แต่เมื่อนำมาใช้ภายในอาคาร (Indoor RTLS) จะมี ข้อจำกัด เนื่องจากไม่สามารถรับสัญญาณดาวเทียมภายใน อาคารได้ จึงต้องเลือกใช้ค่าความเข้มสัญญาณที่ได้รับจาก เครือข่ายเซ็นเซอร์ไร้สาย (Wireless Sensor Network) โดยมี หลากหลายเทคโนโลยี เช่น เทคโนโลยี Wi-Fi [2] เทคโนโลยี บลูทูธพลังงานต่ำ (Bluetooth Low Energy) [3] เทคโนโลยี เอกซ์บี (Xbee) [4] หรือเทคโนโลยีอัลตร้าไวด์แบนด์ (Ultra-Wideband) [5] ซึ่งในแต่ละเทคโนโลยีมีข้อดีข้อเสียแตกต่างกัน ทั้งด้านความละเอียดในการคำนวณระยะทางหรือต้นทุนของ อุปกรณ์เครือข่ายเซ็นเซอร์ไร้สาย

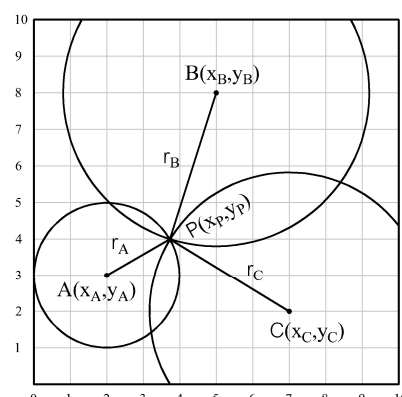
ระบบระบุตำแหน่งแบบเวลาจริงใช้สามเหลี่ยมระยะ (Trilateration) ในการระบุพิกัดวัตถุ จะต้องใช้อุปกรณ์ส่ง สัญญาณ 3 จุด แล้วใช้จุดตัดของวงกลมทั้งสามในการคำนวณ พิกัดอ้างอิง แต่ในบางกรณีพบว่า จุดตัดของวงกลมทั้งสามมีการ เหลื่อมซ้อน ทำให้ต้องพิจารณาจุดที่เหมาะสมในการใช้อ้างอิง พิกัดที่ถูกต้อง โดยอาศัยวิธีการแก้ปัญหาการหาค่าที่เหมาะสมที่สุด (Optimization Problems) ซึ่งมีงานวิจัย [3] เสนอการใช้ วิธีกรเดียน เดสเซนท์ (Gradient Descent) ในการคำนวณหา ค่าพิกัดของอุปกรณ์ บลูทูธพลังงานต่ำ วิธีการนี้จะใช้การวนซ้ำ เพื่อหาค่าความผิดพลาดที่น้อยที่สุดหรือหาจุดที่สุดของ ความสัมพันธ์นั้นเอง ซึ่งต้องใช้การวนซ้ำรอบที่มากขึ้นตามความ ละเอียดที่ต้องการ งานวิจัย [6] ใช้วิธีค่าต่ำสุด-ค่าสูงสุด (Min-Max) ของค่าความเข้มสัญญาณที่ได้รับจากเครือข่ายไร้สาย โดย วิธีที่นำเสนอจะใช้ความสัมพันธ์ของค่าต่ำสุดและสูงสุดที่อยู่ค่า จำกัด ค่าความเข้มสัญญาณที่ได้รับมากำหนดเป็นขอบเขต (Bounding-Box) แต่ยังพบปัญหาในการปรับสมดุลระหว่างการ ประมาณค่าความแม่นยำและการซับซ้อนในการคำนวณ ในขณะ ที่ [7] ใช้วิธีลดค่าความแปรปรวนของค่าความเข้มสัญญาณที่

ได้รับ ก่อนที่จะนำมารวบรวมพิกัด ส่วนงานด้านระบบพิกัดใน งานด้านหาความผิดพลาดทั้งหมดของเครื่องมือกล่องงาน [8] นำเสนอการแก้ปัญหาด้วยวิธีเชิงพันธุกรรม (Genetic Algorithm) โดยนำไปแก้ปัญหาการติดตามด้วยเลเซอร์ ซึ่งพบว่า วิธีเชิงพันธุกรรมมีความสามารถกับงานด้านหาค่าต่ำสุดหรือ สูงสุดของความสัมพันธ์ที่ต้องใช้การแก้สมการหลายตัวแปร

บทความนี้จะทำการแก้ปัญหาการหาค่าที่เหมาะสมที่สุด สำหรับระบบระบุตำแหน่งแบบเวลาจริง โดยนำวิธีเชิงพันธุกรรม มาประยุกต์ใช้ เนื่องจากข้อดีของวิธีนี้จะปรับคำตอบให้ใกล้เคียง กับค่าที่เหมาะสมในการวนซ้ำแต่ละรอบ และเลือกใช้เทคโนโลยี บลูทูธพลังงานต่ำเป็นเครือข่ายเซ็นเซอร์ไร้สาย เนื่องจาก สามารถใช้สมาร์ทโฟนเป็นอุปกรณ์รับส่งสัญญาณได้จึงสะดวกในการทดสอบ งานวิจัยนี้ใช้ภาษาไพธอน (Python) ในการ คำนวณหาค่า ตำแหน่งจากค่าความเข้มสัญญาณที่ได้รับ ผลการ เปรียบเทียบการหาค่าที่เหมาะสมที่สุดด้วยวิธีเชิงพันธุกรรม แสดงไว้ในส่วนถัดไปของบทความนี้

2. หลักการสามเหลี่ยมระยะ

การคำนวณพิกัดด้วยวิธีสามเหลี่ยมระยะจะใช้หลักการของ เรขาคณิตวิเคราะห์ โดยจะให้อุปกรณ์ส่งสัญญาณมีการแพร่ สัญญาณในลักษณะของวงกลม และเมื่อคำนวณระยะทางจากค่า ความเข้มสัญญาณที่ได้รับจะได้รับมีของวงกลมในการแพร่ สัญญาณ พิกัดของอุปกรณ์รับสัญญาณสามารถคำนวณได้จาก จุดตัดทั้งสามของสมการวงกลม แสดงได้ดังรูปที่ 1



รูปที่ 1 การคำนวณพิกัดด้วยวิธีสามเหลี่ยมระยะ

จากรูปที่ 1 อุปกรณ์ส่งสัญญาณ 3 จุดคือ A , B และ C วางอยู่ที่พิกัด (x_A, y_A) , (x_B, y_B) และ (x_C, y_C) โดยแต่ละจุด กระจายสัญญาณเป็นรัศมีขนาด r_A , r_B และ r_C ตามลำดับ

พิกัดที่วงกลมทั้งสามตัดกันคำนวนได้จากจากสมการวงกลมดังนี้ [9]

$$(x - x_A)^2 + (y - y_A)^2 = r_A^2 \quad (1)$$

$$(x - x_B)^2 + (y - y_B)^2 = r_B^2 \quad (2)$$

$$(x - x_C)^2 + (y - y_C)^2 = r_C^2 \quad (3)$$

จุดตัดของวงกลมทั้งสามจะเป็นจุดพิกัดของอุปกรณ์รับสัญญาณ $P(x_P, y_P)$ ซึ่งได้มาจากการหาค่า x และ y ที่สอดคล้องกับสมการ (1)-(3) โดยรัศมีของวงกลมแต่ละวงสามารถคำนวนได้จากสมการการสูญเสียเชิงวิถี [1] ดังสมการที่ (4)

$$r(d) = 10^{(RSSI_{ref} - RSSI(d))/10n} \quad (4)$$

เมื่อ $r(d)$ คือ ระยะห่างจากอุปกรณ์ d เมตร
 $RSSI_{ref}$ คือ ค่าความเข้มสัญญาณที่ได้รับที่จุดอ้างอิง 1 เมตร
 $RSSI(d)$ คือ ค่าความเข้มสัญญาณที่ได้รับ d เมตร
 และ n คือ ค่าตัวแปรในการส่งสัญญาณ

ในการหาพิกัด (x, y) ที่สอดคล้องกับทั้งสามการ (1)-(3) สามารถหาได้จากการกระจายพจน์กำลังสองแล้วจัดให้อยู่ในรูปแบบของเมทริกซ์ ซึ่งจากสมการที่ (1) สามารถเขียนได้ในรูปแบบกระจาย คือ

$$(x^2 - 2xx_A + x_A^2) + (y^2 - 2yy_A + y_A^2) = r_A^2 \quad (5)$$

จัดให้อยู่ในรูปของเมทริกซ์จะได้ดังสมการที่ (6)

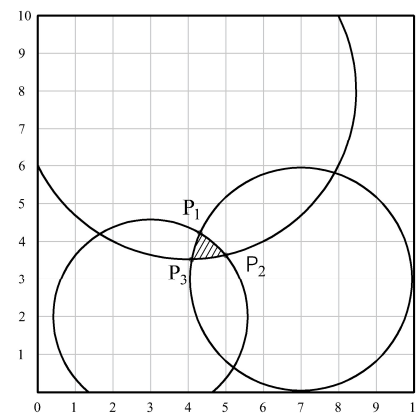
$$\begin{bmatrix} 1 & -2x_A & -2y_A \end{bmatrix} \begin{bmatrix} x^2 + y^2 \\ x \\ y \end{bmatrix} = \begin{bmatrix} r_A^2 - x_A^2 - y_A^2 \end{bmatrix} \quad (6)$$

เมื่อเขียนรวมทั้งสามสมการในรูปแบบเมทริกซ์จะได้ดังสมการที่ (7)

$$\begin{bmatrix} 1 & -2x_A & -2y_A \\ 1 & -2x_B & -2y_B \\ 1 & -2x_C & -2y_C \end{bmatrix} \begin{bmatrix} x^2 + y^2 \\ x \\ y \end{bmatrix} = \begin{bmatrix} r_A^2 - x_A^2 - y_A^2 \\ r_B^2 - x_B^2 - y_B^2 \\ r_C^2 - x_C^2 - y_C^2 \end{bmatrix} \quad (7)$$

ในการหาค่า x และ y สามารถนำอินเวอร์สเมทริกซ์ของเมทริกซ์ตัวแปรคูณทั้งสองข้างของสมการ ซึ่งวิธีนี้เป็นวิธีดังเดิมที่ใช้ในการหาพิกัด (x, y)

แต่ในบางกรณีไม่มีจุดตัดสอดคล้องกับสมการวงกลมทั้ง 3 สมการ แต่มีจุดตัดที่เกิดจากการกลเม็ด 2 วง ทำให้ต้องทำการหาจุดที่ทำให้มีค่าความผิดพลาดที่สอดคล้องกับสมการที่ (1)-(3) น้อยที่สุด ซึ่งจะนำการแก้ปัญหาการหาค่าที่เหมาะสมที่สุดมาประยุกต์ใช้ รูปที่ 2 แสดงกรณีไม่มีจุดตัดของวงกลม 3 วง จึงต้องทำการเลือกพิกัด (x, y) ในส่วนที่เราด้วยการแก้ปัญหาการหาค่าที่เหมาะสมที่สุด



รูปที่ 2 สามเหลี่ยมพิกัดที่ไม่มีจุดตัดของวงกลม 3 วง

วิธีการหาค่าที่เหมาะสมที่สุดด้วยวิธีเชิงพันธุกรรมมีลักษณะคล้ายหลักการวิวัฒนาการในเรื่องการคัดเลือกตามธรรมชาติ วิธีเชิงพันธุกรรมจะหาคำตอบที่ดีที่สุด โดยใช้รูปแบบการถ่ายทอดพันธุกรรมที่ดีไปยังรุ่นต่อไป ขั้นตอนของวิธีเชิงพันธุกรรมจะสร้างชุดคำตอบในรูปแบบโครโนโซม (Chromosome) จำนวนจะทำการคัดเลือกโครโนโซมที่ดีเพื่อส่งต่อไปยังรุ่นลูก ซึ่งจะมีการปรับปรุงพันธุกรรมหรือคำตอบที่ดีขึ้นโดยการสลับสายพันธุ์ (Crossover) และกลายพันธุ์ (Mutation) ขั้นตอนวิธีเชิงพันธุกรรมเริ่มจากการกำหนดประชากร (Population) รุ่นแรกขึ้นมาก่อน โดยกำหนดในรูปแบบของเซต ดังนี้

$$\{(x_1, y_1), (x_2, y_2), (x_3, y_3), (x_4, y_4)\}$$

สมาชิกในเซตหรือประชากรเรียกว่าโครโนโซม และสมาชิกในโครโนโซมเรียกว่า ยีน (gene) เช่น โครโนโซม $[x_1, y_1]$ มียีน x_1, y_1 เป็นคำตอบของค่าที่เหมาะสมที่สุด ซึ่งยังแต่ละตัวจะใช้

วิธีการสุ่มเลือกจากขอบเขตของคำตوب เมื่อต้องการปรับปรุงสายพันธุ์เพื่อส่งต่อไปยังรุ่นถัดไป จะพิจารณาจากฟังก์ชันวัตถุประสงค์ (Objective Function) ซึ่งในการประยุกต์ใช้กับสามเหลี่ยมระยะคือ การหาพิกัด (x, y) ที่ทำให้ค่าความผิดพลาดที่น้อยที่สุด โดยนำสมการที่ (1)-(3) มาพิจารณา ซึ่งการคำนวณค่าความผิดพลาดจะใช้ผลรวมของทั้งสามสมการ ดังนี้ฟังก์ชันวัตถุประสงค์ของแต่ละชุดโครโน่โคเม n ที่มีเป็น x และ y แสดงได้ดังสมการที่ (8)

$$ObjectiveFn[n] = \sum_{i=1}^3 \left((x - x_i)^2 + (y - y_i)^2 - r_i^2 \right)^2 \quad (8)$$

เมื่อ x_i และ y_i คือตำแหน่งพิกัดของอุปกรณ์ส่งสัญญาณ

หลังจากนั้น จะนำฟังก์ชันวัตถุประสงค์มาประเมินค่าความเหมาะสม (Fitness Evaluation) จากสมการที่ (9)

$$Fit[n] = \frac{1}{(1 + ObjectiveFn[n])} \quad (9)$$

จากสมการค่าความเหมาะสมแสดงให้เห็นว่า โครโน่โคเมที่มีค่าฟังก์ชันวัตถุประสงค์น้อยเข้าใกล้ 0 จะทำให้ได้ค่า $Fit[n]$ ที่เข้าใกล้ 1 และแสดงให้เห็นว่า โครโน่โคเมชุดดังกล่าวมีความเหมาะสมเพื่อให้ได้ประสิทธิภาพใหม่ที่ดีขึ้นกว่ารุ่นก่อนหน้า จะต้องทำการสลับสายพันธุ์ซึ่งก็เป็นการผสมยืนของโครโน่โคเมแต่ละตัวนั้นเอง ในการถ่ายทอดซึ่งต้องกำหนดอัตราการสลับสายพันธุ์ (Crossover Rate) เพื่อใช้สุ่มแลกเปลี่ยนตำแหน่งยืนของแต่ละโครโน่โคเม และเพื่อไม่ให้เกิดการวนแลกเปลี่ยนยืนของโครโน่โคเมที่ซ้ำไปซ้ำมานำจึงต้องสร้างการถ่ายทอดซึ่งโดยกำหนดอัตราถ่ายทอด (Mutation Rate) เพื่อสุ่มเลือกยืนที่จะใช้ในการถ่ายทอด จำนวนจะได้ประมาณรุ่นถัดไปและวงกลับไปหาค่าฟังก์ชันวัตถุประสงค์ ค่าความเหมาะสมสมสลับสายพันธุ์และการถ่ายทอดซึ่งจะหยุดการวนซ้ำ ยืนของโครโน่โคเมในเขตประชากรรุ่นสุดท้ายจะเป็นคำตوبของปัญหาการหาค่าที่เหมาะสมที่สุด

3. การทดสอบการคำนวณพิกัด

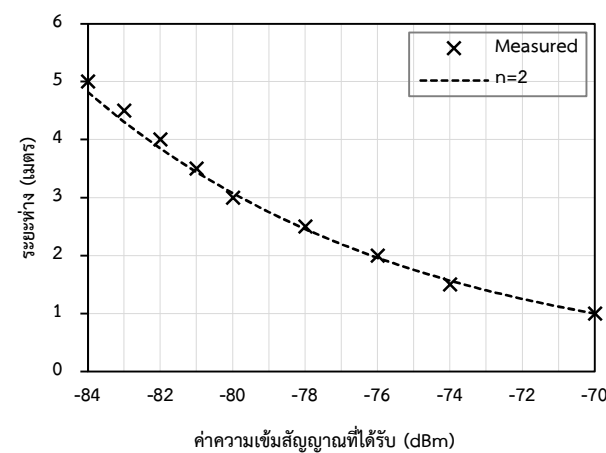
บทความนี้จะทำการศึกษาระบบระบุตำแหน่งแบบเวลาจริงด้วยเทคโนโลยีบลูทูธพลังต่ำ โดยอุปกรณ์รับส่งสัญญาณจะใช้

สมาร์ทโฟนระบบปฏิบัติการแอนดรอยด์เวอร์ชัน 11 ที่มีระบบเชื่อมต่อบลูทูธเวอร์ชัน 5.0 และใช้แอพพลิเคชัน BLE Scanner เวอร์ชัน 3.18 [10] ในการรับส่งสัญญาณบลูทูธ ซึ่งแอพพลิเคชันดังกล่าวมี 2 โหมดให้ใช้งานคือ 1) Advertiser สำหรับอุปกรณ์ส่งสัญญาณ และ 2) Scanner สำหรับอุปกรณ์รับสัญญาณ ซึ่งสามารถวัดค่าความเข้มสัญญาณที่ได้รับในหน่วย dBm และค่าการวัดแสดงได้ดังตารางที่ 1

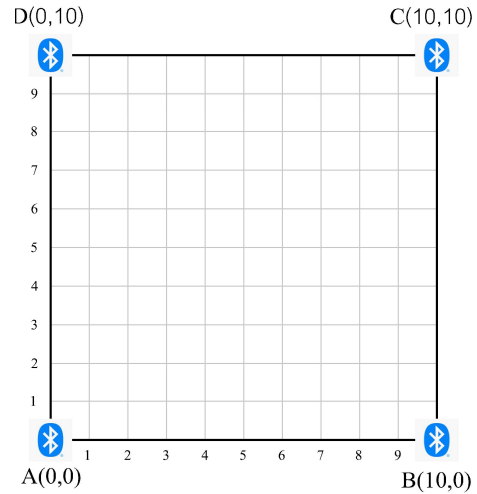
ตารางที่ 1 ผลการวัดค่าความเข้มสัญญาณที่ได้รับ

ระยะห่าง (เมตร)	ค่าความเข้มสัญญาณที่ได้รับ (dBm)
1.00	-70
1.50	-74
2.00	-76
2.50	-78
3.00	-80
3.50	-81
4.00	-82
4.50	-83
5.00	-84

เมื่อนำสมการที่ (4) มาคำนวณเพื่อหาค่า n หรือค่าตัวแปรในการส่งสัญญาณ จะทำให้ได้ค่า $n=2$ ซึ่งจะใช้ในการคำนวณระยะห่างระหว่างอุปกรณ์รับส่งสัญญาณ ผลการเปรียบเทียบค่าการวัดความเข้มสัญญาณที่ได้รับการคำนวณการสูญเสียเชิงวิถีแสดงได้ดังรูปที่ 3



รูปที่ 3 ผลเปรียบเทียบการคำนวณค่าความเข้มสัญญาณที่ได้รับ



ก) ห้องประชุมที่ใช้ในการทดสอบ

ข) แผนผังการอ้างอิงจุด

รูปที่ 4 การจัดวางตำแหน่งอุปกรณ์รับส่งสัญญาณ

การทดสอบการคำนวณพิกัดจะใช้ห้องประชุมที่เลื่อนไปวัดๆ กีดขวาง และกำหนดจุดพิกัดต่างๆ ในระนาบ 10×10 เมตร และ วางสมาร์ทโฟนที่ใช้เป็นอุปกรณ์ส่งสัญญาณที่จุด $A(0,0)$, $B(10,0)$, $C(10,10)$ และ $D(0,10)$ ดังแสดงในรูปที่ 4 และ กำหนดให้จุดพิกัดห่างกัน 1 เมตร เพื่อใช้ในการทดสอบว่าง อุปกรณ์รับสัญญาณและคำนวนหาพิกัดที่ถูกต้องที่สุด

4. ผลการทดสอบ

การทดสอบจะทำการวางสมาร์ทโฟนในพิกัดที่กำหนดไว้ใน รูปที่ 4 โดยมีสมาร์ทโฟนอีก 4 เครื่องวางที่จุดมุ่งทั้ง 4 จุด ซึ่งจะ ใช้วิธีสามเหลี่ยมระยะแบบเดิมเปรียบเทียบกับวิธีเชิง พันธุกรรม เนื่องจากค่าความเข้มสัญญาณที่ได้รับสามารถ คำนวนระยะห่างของอุปกรณ์ได้ด้วยสมการ (4) เมื่อค่า $n=2$ (จากรูปที่ 3) ทำให้ได้สมการที่สมบูรณ์ดังสมการที่ (10)

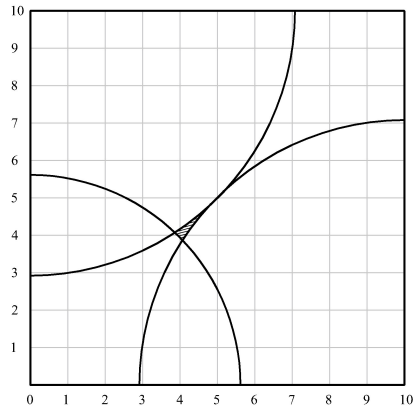
$$r(d) = 10^{(RSSI_{ref} - RSSI(d))/20} \quad (10)$$

ผลการวัดค่าความเข้มสัญญาณที่ได้รับจากอุปกรณ์ส่ง สัญญาณทั้ง 4 จุด เมื่ออุปกรณ์รับสัญญาโนอยู่ที่จุด (4,4) แสดง ได้ดังตารางที่ 2 และระยะห่างที่แสดงในตาราง คำนวนได้จาก สมการที่ (10)

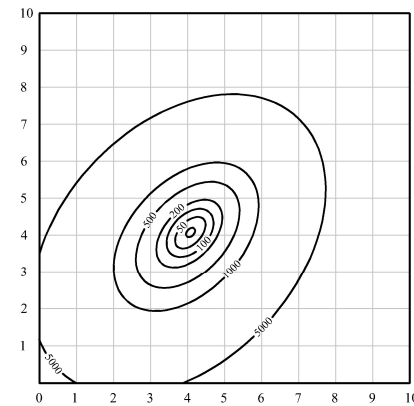
ตารางที่ 2 ค่าความเข้มสัญญาณ ณ ที่จุด (4,4)

จุดส่งสัญญาณ	ค่าความเข้ม ที่ได้รับ (dBm)	ระยะห่าง (เมตร)
$A(0,0)$	-85	5.62
$B(10,0)$	-87	7.08
$C(10,10)$	-89	8.91
$D(0,10)$	-87	7.08

เนื่องจากวิธีคำนวณพิกัดจะใช้สามจุดอ้างอิงจากอุปกรณ์ส่ง สัญญาณ จึงทำการเลือกค่าความเข้มสัญญาณที่ได้รับสูงสุด 3 ลำดับแรกมาใช้ เพราะเป็นจุดส่งสัญญาณที่อยู่ใกล้ตัวเองที่ทำ การทดสอบ ดังนั้นจากตารางที่ 2 จึงทำให้ได้จุดส่งสัญญาณที่ใช้ 3 จุด คือ $A(0,0)$, $B(10,0)$ และ $D(0,10)$ ดังรูปที่ 5 ซึ่งจะสังเกต ว่าไม่มีจุดตัดกันของวงกลมทั้งสาม จึงทำให้ค่าที่คำนวนได้ด้วย วิธีเดิมอาจจะไม่ใช่ค่าที่ผิดพลาดน้อยที่สุด



รูปที่ 5 สามจุดอ้างอิงจากอุปกรณ์ส่งสัญญาณที่ใช้ทดสอบ



รูปที่ 6 ค่าความผิดพลาดที่พิกัดต่างๆ

ผลการเปรียบเทียบการคำนวณพิกัดด้วยวิธีสามเหลี่ยมระยะแบบดั้งเดิมและวิธีเชิงพันธุกรรม แสดงได้ดังตารางที่ 3

ตารางที่ 3 การเปรียบเทียบการคำนวณพิกัดด้วยวิธีสามเหลี่ยม
ระยะแบบตั้งเดิมและวิธีเชิงพื้นกรรรม

วิธีคำนวณ	พิกัด	ระยะทางยุคลิเดียน
ดั้งเดิม	(4.07, 4.07)	0.10
เขิงพันธุกรรม	(4.03, 4.03)	0.04

จากตารางที่ 3 ระยะทางยุคลิดเดียน [9] คือระยะห่างระหว่างพิกัด (x_1, y_1) กับ (x_2, y_2) คำนวณได้จากการที่ (11)

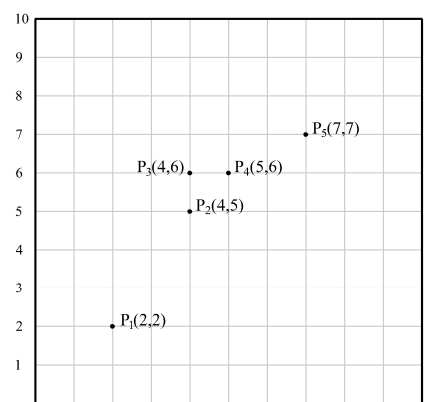
$$d = \sqrt{(x_1 - x_2)^2 + (y_1 - y_2)^2} \quad (11)$$

ผลการคำนวณจากตารางที่ 3 พบว่าพิภัต์ที่ได้มีค่าใกล้เคียงกัน คือ วิธีสามเหลี่ยมระยะแบบบัดดี้เดิมได้พิภัต์ ($4.07, 4.07$) และวิธีเชิงพันธุกรรมได้พิภัต์ ($4.03, 4.03$) ทั้งสองวิธีให้ผลลัพธ์ใกล้เคียงกันกับพิภัต์ที่ทำการทดสอบ คือ ($4.00, 4.00$) แต่เมื่อนำไปวิเคราะห์ด้วยระยะทางยุคลิดเดียน พบว่าวิธีเชิงพันธุกรรมมีระยะทางที่ใกล้กว่า ซึ่งหมายความว่าพิภัต์ที่ใช้วิธีเชิงพันธุกรรมมีความใกล้เคียงกับพิภัต์ในการทดสอบมากกว่ากันนั่นเอง

จะพบว่าวิธีสามเหลี่ยมระยะแบบดังเดิมไม่ได้ให้คำตอบที่สอดคล้องกับสมการวงกลมทั้งสามเส้นอไป แต่ยังมีคำตอบอื่นที่ทำให้ได้พิกัดที่มีค่าความผิดพลาดน้อยกว่า โดยสามารถนำฟังก์ชันวัตถุประสงค์จากสมการที่ (8) ซึ่งเป็นสมการวงกลมทั้งสามมาคำนวณหากต้องการได้ดังรูปที่ 6

จากรูปที่ 6 แสดงค่าความผิดพลาดเมื่อคำนวณตามสมการที่ (8) โดยใช้พิกัดทั้งหมดที่ใช้ทดสอบ (10×10 เมตร) จะพบว่าที่พิกัด (4,4) มีค่าความผิดพลาดลดลงเมื่อเทียบกับพิกัดที่ห่างออกไป แต่จะสังเกตได้ว่าพิกัด (4,4) ไม่ได้เป็นจุดศูนย์กลางของกราฟเส้นแสดงความผิดพลาด นั่นหมายความว่า พิกัด (4,4) ไม่สามารถคำนวณได้อย่างถูกต้องจากวิธีทั้งสอง แต่สามารถคำนวณพิกัดหรือคำตอบอื่นที่สอดคล้องกับสมการวงกลมทั้งสามให้ได้มากที่สุด

การทดสอบเพื่อเปรียบเทียบการคำนวณพิกัดสามเหลี่ยมระยะด้วยวิธีแบบดั้งเดิมกับวิธีเชิงพันธุกรรม ในจุดทดสอบอีก 5 จุด แสดงได้ดังแผนผังในรูปที่ 7 โดยมีจุดทดสอบ คือ $P_1(2,2)$, $P_2(4,5)$, $P_3(4,6)$, $P_4(5,6)$ และ $P_5(7,7)$ ผลการวัดค่าความเข้มสัญญาณที่ได้รับ และการแปลงระยะห่างด้วยสมการที่ (10) แสดงได้ดังตารางที่ 4



รูปที่ 7 พิกัดหั้งหมดที่ใช้ทดสอบ

ตารางที่ 4 ค่าความเข้มสัญญาณของพิกัดที่ใช้ทดสอบ

พิกัด	A(0,0)		B(10,0)		C(10,10)		D(0,10)	
	dBm	m	dBm	m	dBm	m	dBm	m
P ₁ (2,2)	-78	2.51	-88	7.94	-91	11.22	-89	8.91
P ₂ (4,5)	-86	6.31	-88	7.94	-88	7.94	-87	7.08
P ₃ (4,6)	-87	7.08	-89	8.91	-87	7.08	-85	5.62
P ₄ (5,6)	-87	7.08	-88	7.94	-86	6.31	-86	6.31
P ₅ (7,7)	-90	10.00	-87	7.08	-83	4.47	-88	7.94

ตารางที่ 5 การเปรียบเทียบผลการคำนวณพิกัดที่ตำแหน่งทดสอบต่างๆ

พิกัด	วิธีการคำนวณ		ระยะทางยูคลิดเดียน	
	ดั้งเดิม	เชิงพันธุกรรม	ดั้งเดิม	เชิงพันธุกรรม
P ₁ (2,2)	2.16, 2.16	2.17, 2.17	0.23	0.24
P ₂ (4,5)	3.84, 4.48	4.01, 4.70	0.54	0.30
P ₃ (4,6)	4.07, 5.93	4.03, 5.97	0.10	0.04
P ₄ (5,6)	5.00, 5.52	4.76, 5.72	0.48	0.38
P ₅ (7,7)	7.15, 6.51	7.15, 6.51	0.51	0.51

จากตารางที่ 5 ผลการคำนวณด้วยวิธีเชิงพันธุกรรมจะให้ค่าที่ใกล้เคียงกับวิธีดั้งเดิม แต่เมื่อพิจารณาระยะทางยูคลิดเดียน เทียบกับพิกัดที่ใช้ทดสอบจะพบว่า วิธีเชิงพันธุกรรมให้ค่าระยะยูคลิดเดียนที่ต่ำกว่า เนื่องจากวิธีเชิงพันธุกรรมจะทำการวนซ้ำเพื่อหาค่าความผิดพลาดที่น้อยที่สุด โดยอาศัยฟังก์ชันวัตถุประยงค์ เป็นแนวทางในการปรับปรุงคำตอบที่หาได้ในแต่ละรอบการคำนวณ แต่ในบางกรณีจะพบว่าทั้งสองวิธีให้คำตอบที่เท่ากัน เช่น P₅(7,7) ได้พิกัดจากการคำนวณเป็น (7.15,6.51) ทั้ง 2 วิธี

เมื่อพิจารณาในแต่ละพิกัด จากตารางที่ 5 จะพบว่า พิกัด P₁(2,2) ทั้งสองวิธี ได้ค่าพิกัดที่คำนวณใกล้เคียงกัน สาเหตุเกิดจากจุดทดสอบอยู่ใกล้แหล่งส่งสัญญาณ A(0,0) ทำให้เมื่อคำนวณระยะห่างระหว่างอุปกรณ์รับและส่งสัญญาณ มีความผิดพลาดต่ำ จึงส่งผลต่อการคำนวณพิกัดด้วยสามเหลี่ยมระยะไปด้วย ซึ่งผลลัพธ์สอดคล้องกับ P₅(7,7) ที่อยู่ใกล้จุดส่งสัญญาณ C(10,10) ทำให้ข้อผิดพลาดที่เกิดจากการคำนวณระยะห่างระหว่างอุปกรณ์ผิดพลาดต่ำไปด้วย การคำนวณพิกัดด้วยวิธีทั้งสองจึงให้ค่าที่เท่ากัน แต่ในขณะที่จุดทดสอบ P₂(4,5), P₃(4,6) และ P₄(5,6) เป็นพิกัดที่ไม่ได้ขัดขอบด้านใดด้านหนึ่ง ทำให้การ

คำนวณระยะห่างระหว่างอุปกรณ์รับส่งสัญญาณมีความคลาดเคลื่อน ไม่สามารถใช้วิธีสามเหลี่ยมระยะแบบดั้งเดิมหาพิกัดที่สอดคล้องกับสมการวงกลมทั้งสามได้ วิธีเชิงพันธุกรรมที่ใช้ในการวนซ้ำจึงทำให้ได้คำตอบที่สอดคล้องกับสมการวงกลมทั้งสามมากกว่า เพิ่งจะสังเกตุได้จาก ระยะทางยูคลิดเดียนที่น้อยกว่าวิธีแบบดั้งเดิมอย่างเห็นได้ชัด

5. สรุปผล

การคำนวณพิกัดในระบบระบุตำแหน่งแบบเวลาจริงภายในอาคารด้วยเทคโนโลยีบลูทูธพลังงานต่ำ จะใช้หลักการสามเหลี่ยมระยะ โดยคำนวณรัศมีของวงกลมจากจุดส่งสัญญาณทั้ง 3 จุดอ้างอิง ด้วยค่าความเข้มสัญญาณที่ได้รับ และแก้ระบบสมการหาคำตอบด้วยวิธีทางเมทริกซ์ซึ่งเป็นวิธีดั้งเดิมที่มีใช้อยู่แต่พบร่วมกับการคำนวณด้วยวิธีทางการหาค่าที่เหมาะสมที่สุด ที่สอดคล้องกับระบบสมการ วิธีการแก้ปัญหาการหาค่าที่เหมาะสมที่สุดด้วยวิธีเชิงพันธุกรรม จึงถูกนำมาเสนอเป็นอีกทางเลือก วิธีเชิงพันธุกรรมจะวนซ้ำและปรับปรุงคำตอบให้ได้ค่าที่เหมาะสม ผลการทดสอบพบว่า วิธีเชิงพันธุกรรมสามารถหา

ค่าที่เหมาะสมได้มากกว่าวิธีแบบดั้งเดิม โดยในตำแหน่งที่จุดรับสัญญาณใกล้เคียงกับจุดอ้างอิงพบว่าทั้งสองวิธีให้ค่าที่เหมาะสมได้ใกล้เคียงกัน เนื่องจากในขั้นตอนการคำนวณระยะทางด้วยสมการการสูญเสียเชิงวิถีมีความผิดพลาดต่ำ แต่ในขณะที่จุดรับสัญญาณที่ใกล้จากจุดอ้างอิง วิธีเชิงพันธุกรรมให้คำตอบที่เหมาะสมมากกว่าวิธีแบบดั้งเดิมอย่างชัดเจน แสดงว่าวิธีเชิงพันธุกรรมสามารถนำมาประยุกต์ใช้สำหรับระบบบุต้าหน่งภายในอาคารได้ อย่างไรก็ตามวิธีเชิงพันธุกรรมจะต้องวนซ้ำเพื่อหาคำตอบที่เหมาะสม ซึ่งจะส่งผลต่อประสิทธิภาพการทำงานของระบบ ดังนั้นการนำไปประยุกต์ใช้งานจึงต้องคำนึงถึงจุดนี้ด้วย

6. เอกสารอ้างอิง

- [1] S Bertuletti, A. Cereatti, U. Della, M. Caldara and M. Galizzi, "Indoor distance estimated from Bluetooth Low Energy signal strength: Comparison of regression models," *IEEE Sensor Applications Symposium (SAS)*, Catania, 2016, pp.1-5.
- [2] M M Maw, H M N M Tint and S. Duangsuwan, "Analysis of indoor Wi-Fi localization using gaussian process regression and K-nearest neighbor algorithms," *UTK Research Journal*, vol. 14, no. 1, pp. 30-39. Jan.-Jul. 2020.
- [3] P Dangkham, "Indoor Real Time Localization System with Bluetooth Low Power," *Journal of Industrial Technology*, vol. 13, no. 1, pp. 71-80. Jan.-Jul. 2018 (in Thai).
- [4] T. Phoka, K. Kumphet, and W. Massagram, "Localization of a Micro AUV with Dynamic Trilateration Using Low-power Packet Radio RSSI", *ECTI-CIT*, vol. 15, no. 2, pp. 177 - 185, Apr. 2021.
- [5] L. Génevé, O. Kermorgant and É. Laroche, "Limits of trilateration-based sensor placement algorithms," *2017 IEEE Sensors Applications Symposium (SAS)*, USA, 2017, pp. 1-6.
- [6] A Booranawong, K Sengchuai, N Jindapetch and H Saito, "An investigation of min-max method problems for RSSI-based indoor localization: Theoretical and experimental studies," *Engineering and Applied Science Research (EASR)*, vol. 47, no. 3, pp. 313-325. Jul.-Sep. 2020.
- [7] A Booranawong, J Sopajarn, T Sittiruk and N Jindapetch, "Reduction of RSSI variations for indoor position estimation in wireless sensor networks," *Engineering and Applied Science Research (EASR)*, vol. 45, no. 3, pp. 212-220. Jul.-Sep. 2018.
- [8] H Wang, Y Cai, T Li, L Wang and F Li, "Application of genetic algorithm to multilateration measurement of the volumetric error in machine tools," *Advances in Mechanical Engineering*, vol. 8, no. 9, pp. 1-10. Sep 2016.
- [9] A. Baukerche, *Algorithms and Protocols for wireless sensor networks*, John Wiley and Sons, 2008.
- [10] Bluepixel Technology, BLE Scanner. [Online]. Available: <https://www.bluepixeltech.com>